

T431 S

Elektrische Eigenschaften

Electrical properties

Höchstzulässige Werte

Maximum rated values

Periodische Vorwärts- und Rückwärts-Spitzen-Sperrspannung	repetitive peak forward off-state and reverse voltages	$t_{vj} = -40^\circ\text{C} \dots t_{vj\max}$	$V_{\text{DRM}}, V_{\text{RRM}}$	1100, 1200	v
Vorwärts-Stoßspitzen-Sperrspannung	non repetitive peak forward off-state voltage	$t_{vj} = -40^\circ\text{C} \dots t_{vj\max}$	$V_{\text{DSM}} = V_{\text{DRM}}$		
Rückwärts-Stoßspitzen-Sperrspannung	non repetitive peak reverse voltage	$t_r = +25^\circ\text{C} \quad t_{vj\max}$	$V_{\text{RSM}} = V_{\text{RRM}}$	+ 100	v
Durchlaßstrom-Grenzeffektivwert	RMS on-state current		I_{TRMSM}	1200	A
Dauergrenzstrom	average on-state current	$t_C = 85^\circ\text{C}$	I_{TAVM}	430	A
		$t_C = 38^\circ\text{C}$		765	A
Stoßstrom-Grenzwert	surge current	$t_{vj} = 25^\circ\text{C}, t_p = 10 \text{ ms}$	I_{TSM}	6,5	kA
		$t_{vj} = t_{vj\max}, t_p = 10 \text{ ms}$		6	kA
Grenzlastintegral	I^2t -value	$t_{vj} = 25^\circ\text{C}, t_p = 10 \text{ ms}$	I^2t	210	kA^2s
		$t_{vj} = t_{vj\max}, t_p = 10 \text{ ms}$		180	kA^2s
Kritische Stromteilheit	critical rate of rise of on-state current	$V_D \leq 67\% V_{\text{DRM}}, f = 50 \text{ Hz}$	$(di/dt)_{\text{cr}}$	400	$\text{A}/\mu\text{s}$
Kritische Spannungsteilheit	critical rate of rise of off-state voltage	$i_{\text{GM}} = 1 \text{ A}, di_G/dt = 2 \text{ Alps}$		¹⁾	
		$t_{vj} = t_{vj\max}, V_D = 67\% V_{\text{DRM}}$	$(dv/dt)_{\text{cr}}$	²⁾	
			L:	500	$\text{V}/\mu\text{s}$

Charakteristische Werte

Characteristic values

Durchlaßspannung	on-state voltage	$t_{vj} = t_{vj\max}, i_T = 2300 \text{ A}$	V_T	max.	3,18 V
Schleusenspannung	threshold voltage	$t_{vj} = t_{vj\max}$	$V_{T(\text{TO})}$	1,7	v
Ersatzwiderstand	slope resistance	$t_{vj} = t_{vj\max}$	r_T	0,67	$\text{m}\Omega$
Zündstrom	gate trigger current	$t_r = 25^\circ\text{C}, V_D = 6 \text{ V}$	I_{GT}	max.	300 mA
Zündspannung	gate trigger voltage	$t_{vj} = 25^\circ\text{C}, V_D = 6 \text{ V}$	V_{GT}	max.	2,5 V
Nicht zündender Steuerstrom	gate non-trigger current	$t_{vj} = t_{vj\max}, V_D = 6 \text{ V}$	I_{GD}	max.	40 mA
Nicht zündende Steuerspannung	gate non-trigger voltage	$t_{vj} = t_{vj\max}, V_D = 0,5 V_{\text{DRM}}$	V_{GD}	max.	0,3 v
Haltestrom	holding current	$t_{vj} = 25^\circ\text{C}, V_D = 6 \text{ V}, R_A = 5 \Omega$	I_H	max.	200 mA
Einraststrom	latching current	$t_r = 25^\circ\text{C}, V_D = 6 \text{ V}, R_{\text{GK}} \geq 10 \Omega$	I_L	max.	2 A
Vorwärts- u. Rückwärts-Sperrstrom	forward off-state and reverse Currents	$i_{\text{GM}} = 1 \text{ A}, di_G/dt = 1 \text{ A}/\mu\text{s}, t_g = 20 \mu\text{s}$	i_D, i_R	max.	100 mA
Zündverzug	gate controlled delay time	$t_{vj} = t_{vj\max}, V_D = V_{\text{DRM}}, V_R = V_{\text{RRM}}$	t_{gd}	max.	1,5 μs
Freiwerdezeit	circuit commutated turn-off time	siehe Techn. Erl./see Techn. Inf.	t_r	¹⁾	10 μs
				²⁾	12 μs

Thermische Eigenschaften

Thermal properties

Innerer Wärmewiderstand für beidseitige Kühlung	thermal resistance, junction to case for two-sided cooling	$\Theta = 180^\circ \text{ el, sin}$	R_{thJC}	max.	0,0384 $^\circ\text{C}/\text{W}$
		DC		max.	0,0350 $^\circ\text{C}/\text{W}$
für anodenseitige Kühlung	for anode-sided cooling	$\Theta = 180^\circ \text{ el, sin}$	$R_{\text{thJC(A)}}$	max.	0,0694 $^\circ\text{C}/\text{W}$
		DC		max.	0,0660 $^\circ\text{C}/\text{W}$
für kathodenseitige Kühlung	for cathode-sided cooling	$\Theta = 180^\circ \text{ el, sin}$	$R_{\text{thJC(K)}}$	max.	0,0779 $^\circ\text{C}/\text{W}$
		DC		max.	0,0745 $^\circ\text{C}/\text{W}$
Übergangswärmewiderstand	thermal resistance, case to heatsink	beidseitig/two-sided	R_{thCK}	max.	0,006 $^\circ\text{C}/\text{W}$
		einseitig/one-sided		max.	0,012 $^\circ\text{C}/\text{W}$
Höchstzul. Sperrschiichttemperatur	max. junction temperature	$t_{vj\max}$			125°C
Betriebstemperatur	Operating temperature	t_c			-40 ... + 125°C
Lagertemperatur	storage temperature	t_{stg}			-40 ... + 150°C

Mechanische Eigenschaften

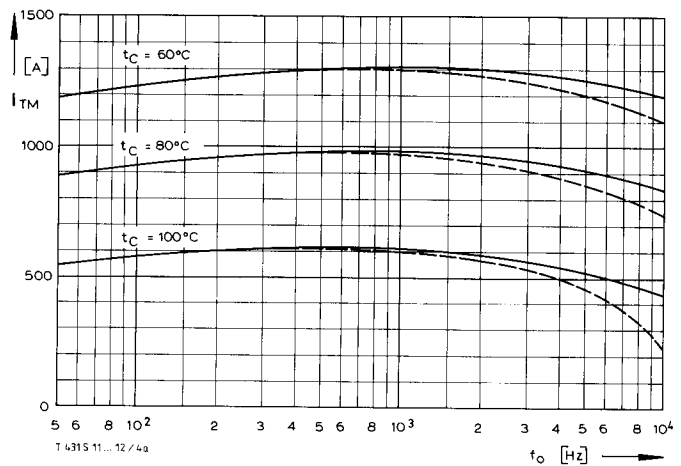
Mechanical properties

Si-Element mit Druckkontakt	Si-pellet with pressure contact		F	9 ... 13 kN
Anpreßkraft	Clamping force		G	typ.
Gewicht	weight			150 g
Kriechstrecke	Creepage distance			14 mm
Feuchteklaasse	humidity classification	DIN 40040		C
Schwingfestigkeit	Vibration resistance	$f = 50 \text{ Hz}$		50 m/s ²
Maßbild	outline	DIN 41814-151A4		Seite/Page 155

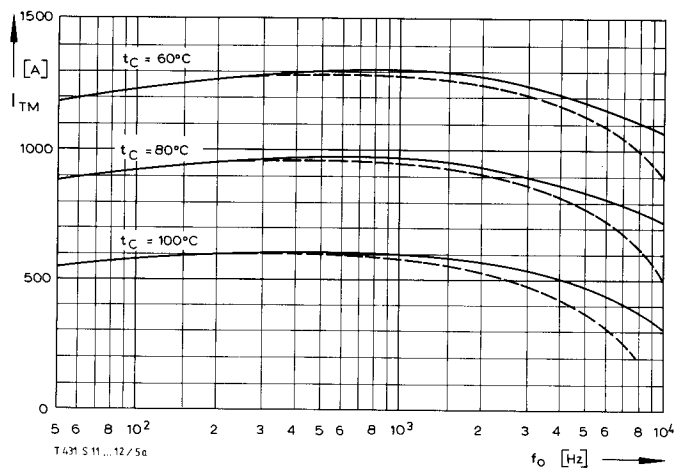
1) Werte nach DIN IEC 747-6 (ohne vorausgehende Kommutierung)/Values to DIN IEC 747-6 (without prior commutation)

2) Unmittelbar nach der Freiwerdezeit, vgl. Meßbedingungen für t_q /Immediately after circuit commutated turn-off time, see Parameters t_q

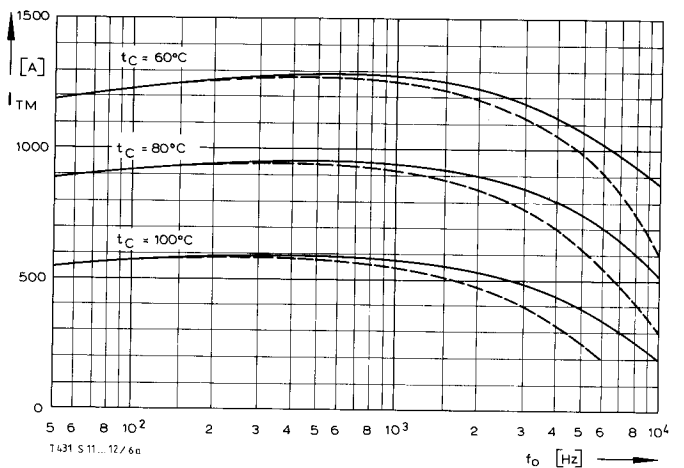
3) $-di_T/dt = 100 \text{ A}/\mu\text{s}; dv_D/dt = 50 \text{ V}/\mu\text{s}$



Bild/Fig. 4a $-di_T/dt = 50 \text{ A}/\mu\text{s}$, RC-Glied/RC-network $R \geq 15 \Omega$, $C \leq 0,15 \mu\text{F}$

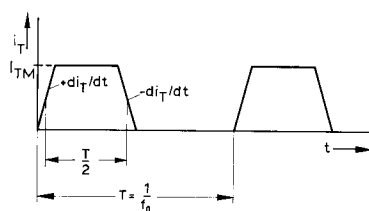


Bild/Fig. 5a $-di_T/dt = 100 \text{ A}/\mu\text{s}$, RC-Glied/RC-network $R \geq 12 \Omega$, $C \leq 0,22 \mu\text{F}$

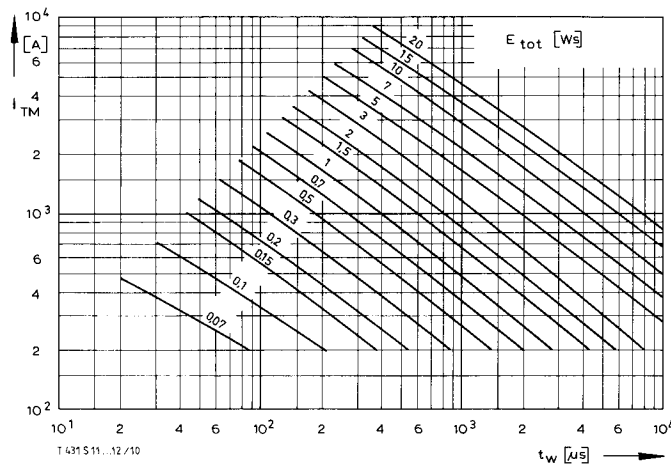


Bild/Fig. 6a $-di_T/dt = 200 \text{ A}/\mu\text{s}$, RC-Glied/RC-network $R \geq 6,8 \Omega$, $C \leq 0,33 \mu\text{F}$

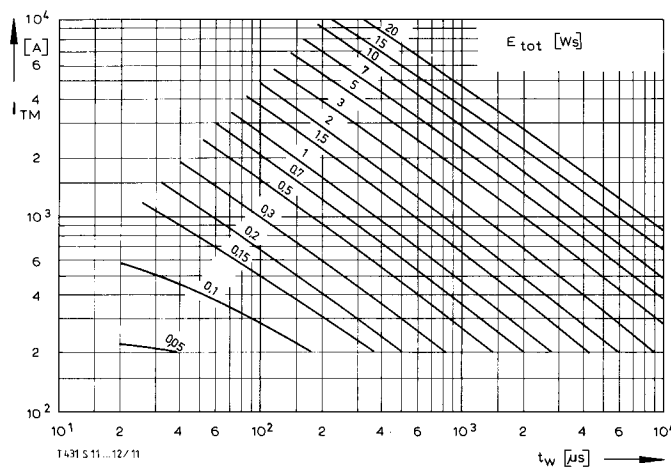
Bild/Fig. 4a, 5a, 6a
Steuergenerator/pulse generator:
 $i_G = 1,5 \text{ A}$, $di_G/dt = 2 \text{ A}/\mu\text{s}$
— $dv_R/dt \leq 600 \text{ V}/\mu\text{s}$, $v_{RM} \leq 0,67 \text{ V}_{RRM}$



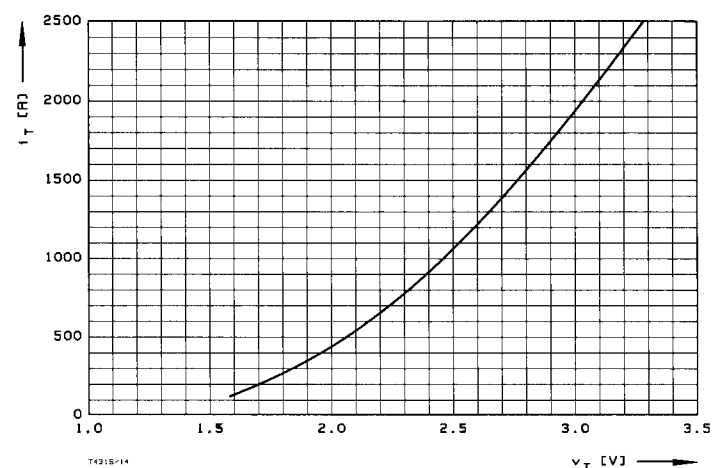
T 431 S



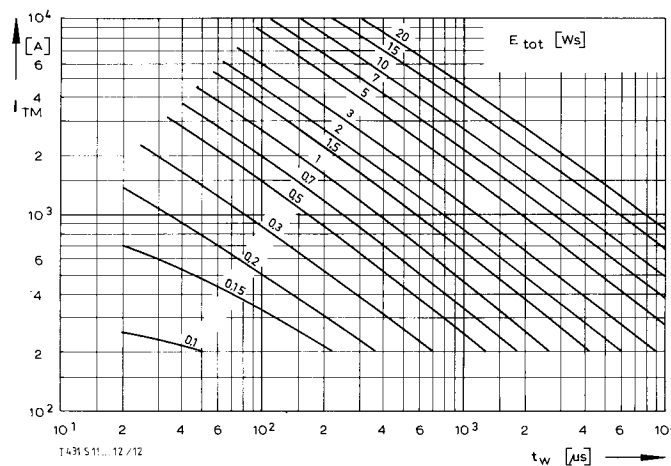
Bild/Fig. 10 $-di_T/dt = 50 \text{ A}/\mu s$, RC-Glied/RC-network $R \geq 15 \Omega$, $C \leq 0,15 \mu F$



Bild/Fig. 11 $-di_T/dt = 100 \text{ A}/\mu s$, RC-Glied/RC-network $R \geq 12 \Omega$, $C \leq 0,22 \mu F$



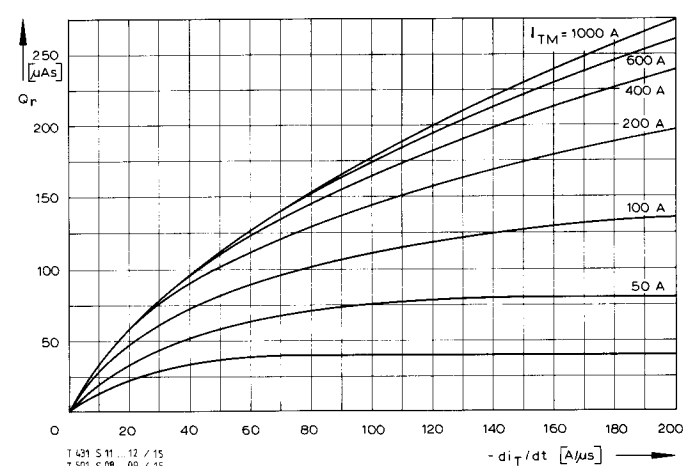
Bild/Fig. 14



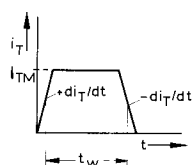
Bild/Fig. 12 $-di_T/dt = 200 \text{ A}/\mu s$, RC-Glied/RC-network $R \geq 6,8 \Omega$, $C \leq 0,33 \mu F$

Bild/Fig. 10, 11, 12
Steuergenerator/pulse generator:
 $i_G = 1,5 \text{ A}$, $di_G/dt = 2 \text{ A}/\mu s$

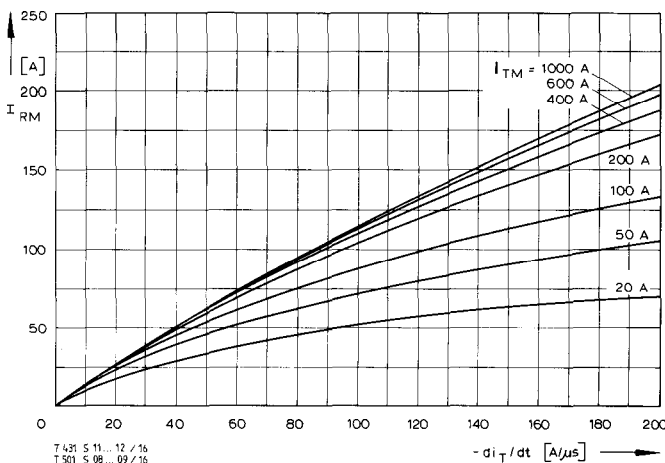
$V_{DM} \leq 0,67 V_{DRM}$
 $dv_R/dt \leq 600 \text{ V}/\mu s$
 $V_{RM} \leq 0,67 V_{RRM}$



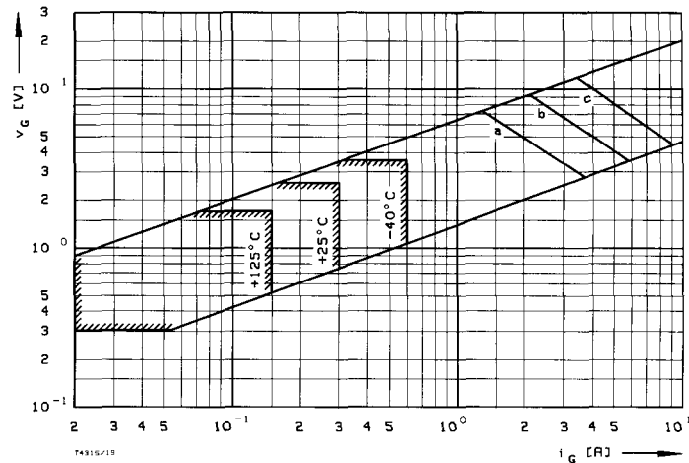
Bild/Fig. 15



T 431 S

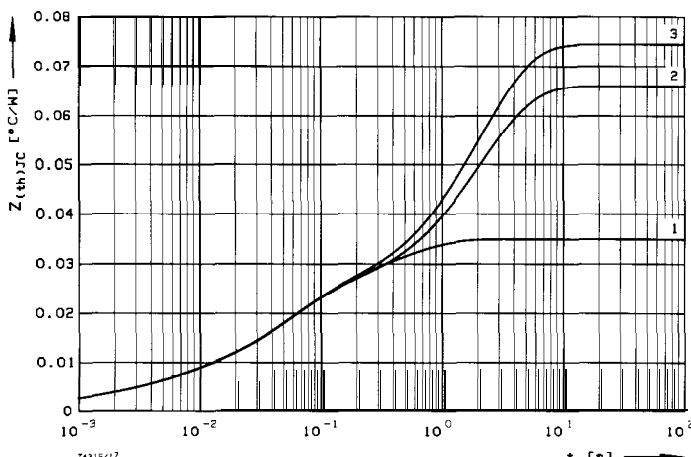


BildFig. 16
Rückstromspitze $I_{RM} = f(-di/dt)$, $t_{vj} = t_{vj(max)}$, $V_R = 0.5 V_{RRM}$, $V_{RM} = 0.8 V_{RRM}$
Peak reverse recovery current $I_{RM} = f(-di/dt)$, $t_{vj} = t_{vj(max)}$, $V_R = 0.5 V_{RRM}$, $V_{RM} = 0.8 V_{RRM}$
Parameter: Durchlaßstrom/On-state current I_{TM}

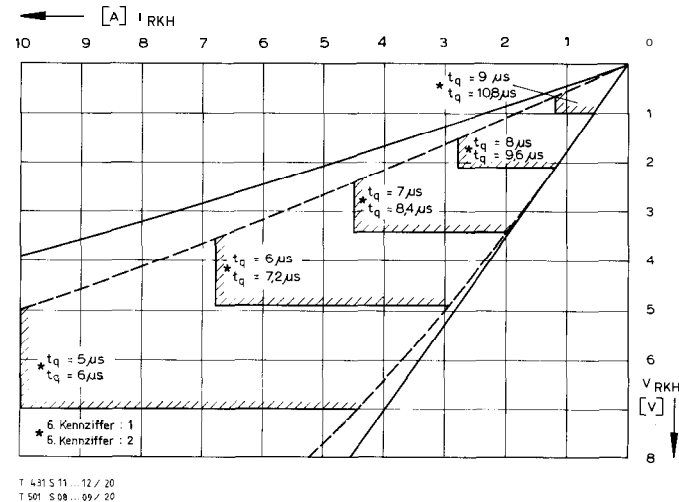


BildFig. 19
Steuercharakteristik mit Zündbereichen/Gate characteristic with triggering areas
 $V_G = f(i_G)$, $V_D = 6 V$

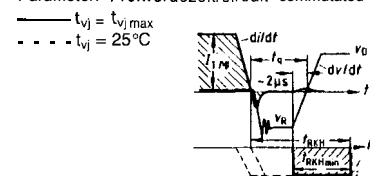
Parameter:	a	b	c
Steuerimpulsdauer/Trigger pulse duration t_g [ms]	10	1	0,5
Höchstzulässige Spitzesteuerverlustleistung/ Max. rated peak gate power dissipation P_{GM} [W]	10	20	40



BildFig. 17
Transienter innerer Wärmewiderstand $Z_{thJC} = f(t)$, DC
Transient thermal impedance $Z_{thJC} = f(t)$, DC
1 Beidseitige Kühlung/two-sided cooling
2 Anodenseitige Kühlung/anode side cooling
3 Kathodenseitige Kühlung/cathode side cooling



BildFig. 20
Steuercharakteristik $I_{RKH} = f(V_{RKH})$ zwischen Anschlüssen HK U. K in Rückwärtsrichtung
Gate characteristic $I_{RKH} = f(V_{RKH})$ between terminals HK and K in reverse direction
Parameter: Freiwerdezeit/circuit commutated turn-off time t_q



Analytische Elemente des transienten Wärmewiderstandes Z_{thJC} für DC
Analytical elements of transient thermal impedance Z_{thJC} for DC

Kühlung cooling	Pos. n	1	2	3	4	5	6	7
beidseitig two-sided	R_{thn} [$^\circ C/W$]	0,0017	0,0043	0,0128	0,006	0,0102		
	τ_n [s]	0,00057	0,0043	0,044	0,105	0,457		
anodenseitig anode-sided	R_{thn} [$^\circ C/W$]	0,0017	0,0043	0,0128	0,005	0,0422		
	τ_n [s]	0,00057	0,0043	0,044	0,074	2,15		
kathodenseitig cathode-sided	R_{thn} [$^\circ C/W$]	0,0017	0,0043	0,0128	0,0047	0,051		
	τ_n [s]	0,00057	0,0043	0,044	0,077	2,115		

Analytische Funktion/analytical function:

$$Z_{thJC} = \sum_{n=1}^{n_{max}} R_{thn} (1 - \exp(-t/\tau_n))$$